

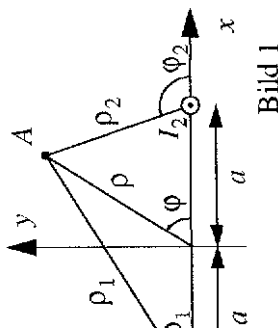
Übung zu

Grundgebiete der Elektrotechnik III

WS 09/10 - Blatt 5

Aufgabe 28

Gegeben sind zwei in z -Richtung unendlich ausgedehnte, parallele Leiter mit Abstand $2a$, die von den Strömen I_1 bzw. I_2 durchflossen werden (Bild 1). Ausgehend von der in der Vorlesung hergeleiteten Gesamtfeldstärke $\vec{H}_{\text{ges}}(x, y)$ ist eine parametrische Darstellung der Feldlinien von \vec{H}_{ges} für $I_1 = I_2 > 0$ bzw. $I_1 = -I_2 > 0$ gesucht. Gehen Sie dabei folgendermaßen vor:



a) Zeigen Sie, dass entlang einer Feldlinie von $\vec{H}_{\text{ges}}(x, y)$ gilt:

$$H_x \cdot dy = H_y \cdot dx.$$

b) Berechnen Sie dann mithilfe einer unbestimmteten Integration $\int H_x \cdot dy = \int H_y \cdot dx$ die parametrische Darstellung der Feldlinien.

$$\text{HINWEIS: } \int \frac{f'(x)}{f(x)} dx = \ln|f(x)|$$

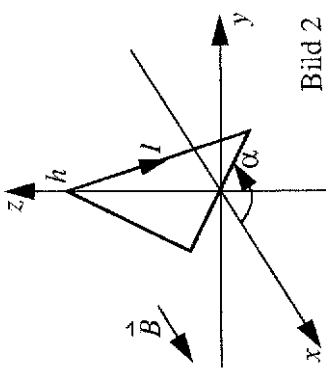
c) Welche Dualitäten zum elektrostatischen Feld ergeben sich?

Aufgabe 29

Eine dreieckige, gleichschenkige Leiterschleife der Höhe h und Breite b ist drehbar um die z -Achse gelagert (Bild 2). Sie wird vom Strom I durchflossen und befindet sich in einem homogenen Magnetfeld $\vec{B} = B_0 \cdot \hat{e}_x$.

- a) Welches mechanische Drehmoment $\vec{L} = L_z \cdot \hat{e}_z$ wirkt auf die Schleife?
- b) Für welche Winkel α_1, α_2 ist das Drehmoment Null? In welcher Lage stellt sich ein stabiles Gleichgewicht ein?

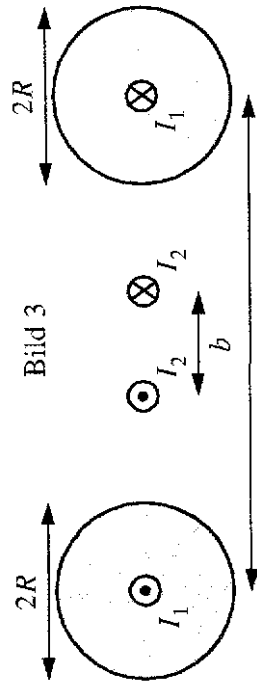
Im Folgenden ist das Magnetfeld ortsabhängig mit $\vec{B} = B_0 \cdot (1 + z/h) \cdot \hat{e}_x$. Gesucht wird wiederum das Drehmoment L_z um die z -Achse.



c) Zunächst soll der Beitrag dL_z eines infinitesimalen Leiterstücks $d\vec{s}$ berechnet werden. Welche Komponente (in Zylinderkoordinaten) der Kraft $\vec{dF} = I \cdot d\vec{s} \times \vec{B}$ trägt zu dL_z bei? Aus welchen Komponenten von $d\vec{s}$ und \vec{B} ergibt sich diese Komponente von $d\vec{F}$?

- d) Berechnen Sie die gesuchte Komponente von $d\vec{F}$ und daraus dL_z .
- e) Begründen Sie, warum das in der x - y -Ebene liegende Schleifensegment nicht zu L_z beiträgt. Bestimmen Sie L_z durch Integration über z .

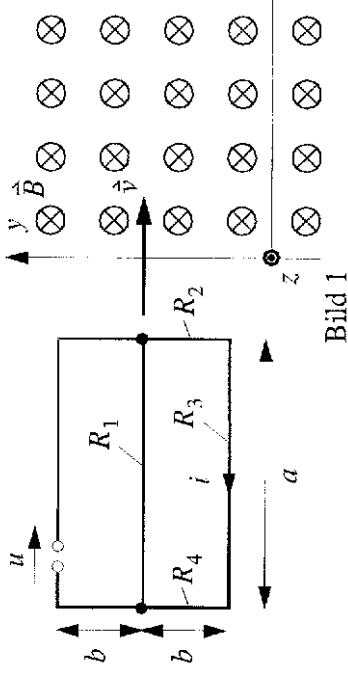
Aufgabe 30



Die beiden äußeren Leiter der abgebildeten Zweidrahtleitung haben den Radius R und den Achsenabstand a . Sie dienen als Hin- und Rückleiter für den Strom I_1 . In der Mitte der äußeren Zweidrahtleitung befindet sich eine weitere Zweidrahtleitung mit sehr dünnen Leitern im Abstand b und dem Strom I_2 (Bild 3).

- a) Bestimmen Sie die magnetische Feldstärke \vec{H}_1 , die die äußere Zweidrahtleitung zwischen den beiden inneren Leitern erzeugt.
- b) Berechnen Sie die längenbezogene äußere Gegeninduktivität L'_{21} der Gesamtanordnung. Bestimmen Sie daraus L'_{12} .

Aufgabe 31



Eine Drahtschleife besteht aus zwei Maschen und bewegt sich mit der Geschwindigkeit \vec{v} in das Magnetfeld \vec{B} , das sich über die gesamte rechte Halbebene ($x \geq 0$) erstreckt (Bild 1). Zum Zeitpunkt $t = 0$ tritt die rechte Kante der Schleife in das Feld ein. Das vom Strom i verursachte Magnettfeld ist zu vernachlässigen.

- Wie groß ist der Strom i für $a = 30\text{cm}$, $b = 10\text{cm}$, $v = 1\text{ms}^{-1}$, $B = 1\text{T}$ und $R_1 = R_2 = R_3 = R_4 = 5\Omega$?
- Was ergibt sich damit für die Spannung u ?
- Skizzieren Sie $i(t)$ und $u(t)$ im Zeitbereich $0 \leq t \leq 0,5\text{s}$.
- Welcher Strom $i(t)$ ergibt sich, falls $B(t) = 1\text{T} \cdot e^{-t/\tau}$ mit $\tau = 0,1\text{s}$?

Aufgabe 32

Gegeben ist ein unendlich langes Koaxialkabel, dessen Innencleiter mit Radius R_1 den Strom I führt. Der Außenleiter (R_2, R_3) dient als Rückleiter (Bild 2).

- Berechnen Sie die längenbezogene innere und äußere Induktivität. Verwenden Sie dabei zunächst die Definition der Induktivität über die Flussverkettung.
- Kontrollieren Sie Ihr Ergebnis mit der Definition der Induktivität über die Energie des magnetischen Feldes.

Aufgabe 33

Eine schlanke Zylinderspule der Länge l ist in zwei Lagen mit je N Windungen gewickelt (Bild 3).

- Wie groß ist die magnetische Flussdichte B für $\rho < R_i$ und für $R_i < \rho < R_a$?
- Berechnen Sie die verketteten Flüsse Ψ_i und Ψ_a der inneren und der äußeren Lage.
- Berechnen Sie mit dem Ergebnis aus b) die Induktivität der Spule.

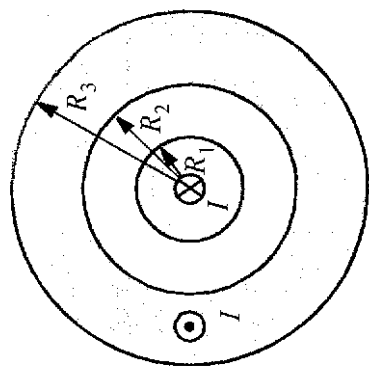


Bild 2

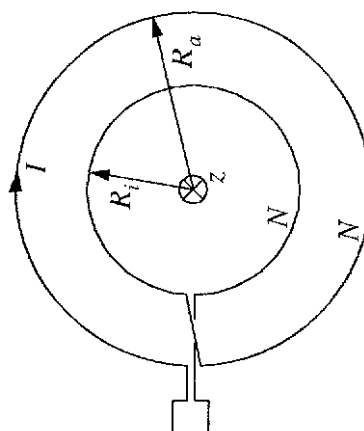


Bild 3

Fortschreibung Aufg. 28.1

b)

$$\int u_x \, dy = -\frac{1}{2\pi} \int \left(\frac{I_1 \cdot y}{(x+a)^2 + y^2} + \frac{I_2 \cdot y}{(x-a)^2 + y^2} \right) dy$$

$$\int u_y \, dx = \frac{1}{2\pi} \int \left(I_1 \cdot \frac{x+a}{(x+a)^2 + y^2} + I_2 \cdot \frac{x-a}{(x-a)^2 + y^2} \right) dx$$

Antwort: $\int \frac{f'(y)}{(x+a)^2 + y^2} dy = f(y)$

$$\int u_x \, dy = -\frac{1}{4\pi} \left(I_1 \underbrace{\ln \left(|(x+a)^2 + y^2| \right)}_{S_1^2} + I_2 \underbrace{\ln \left(|(x-a)^2 + y^2| \right)}_{S_2^2} \right) + c_1$$

$$\int u_y \, dx = \frac{1}{4\pi} \left(I_1 \underbrace{\ln \left(|(x+a)^2 + y^2| \right)}_{S_1^2} + I_2 \underbrace{\ln \left(|(x-a)^2 + y^2| \right)}_{S_2^2} \right) + c_2$$

Antwort: ~~$\ln(S_1^2) = 2 \cdot \ln(S_2)$~~

Gleichsetzen:

$$-\frac{1}{2\pi} (I_1 \cdot \ln(S_1) + I_2 \cdot \ln(S_2)) + c_1 \stackrel{!}{=}$$

$$\frac{1}{2\pi} (I_1 \ln(S_1) + \ln(S_2) \cdot I_2) + c_2$$

$$\underbrace{c_1 - c_2}_{c_3} = \frac{1}{\pi} (I_1 \ln(S_1) + I_2 \ln(S_2))$$

Fall 1: $I_1 = I_2 > 0$

$$c_4 = I_1 \cdot (\ln(S_1) + \ln(S_2))$$

$$\Leftrightarrow \frac{c_4}{I_1} = \ln(S_1 \cdot S_2) \rightarrow S_1 \cdot S_2 \stackrel{!}{=} \text{const}$$

Fall 2: $I_1 = -I_2 > 0$

$$c_4 = I_1 (\ln(S_1) - \ln(S_2))$$

$$\frac{c_4}{I_1} = \ln\left(\frac{S_1}{S_2}\right) \rightarrow \frac{S_1}{S_2} \stackrel{!}{=} \text{const}$$

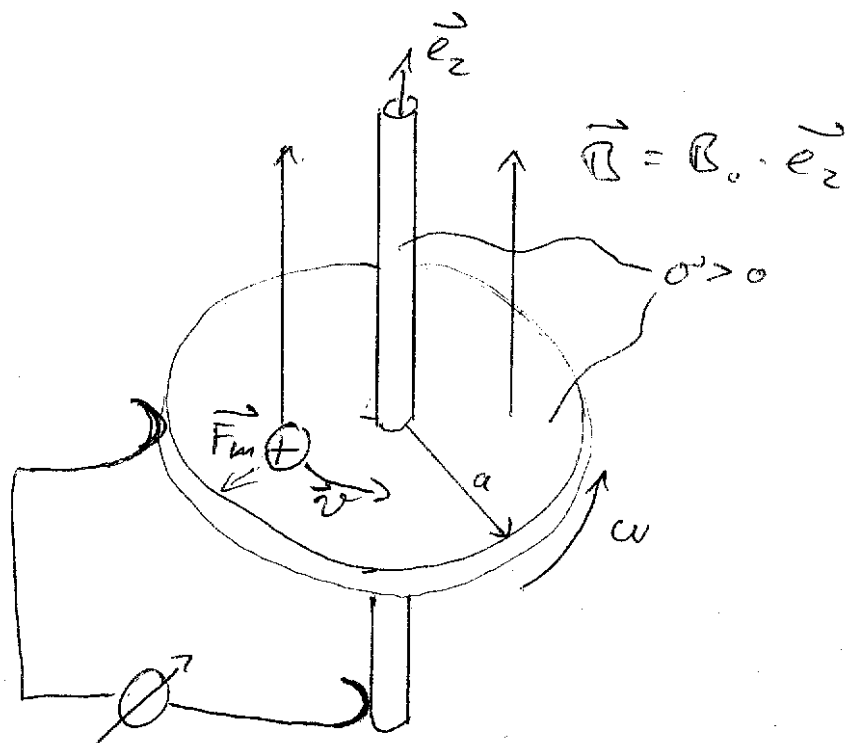
vgl. Aufg. 16

c.) vgl. Blatt 3, Aufg. 16

Die Schuttgraten der A'gaspotentialflächen und der x-y-Ebene für $q_{11} = -q_{12}$ entsprechen den H-Feldgraten für $I_1 = -I_2$

Barlow'sches Rad vgl. Skript S. 5-18

Problem: $\oint \vec{E} d\vec{s} = U_{ind} = -\frac{d\phi}{dt}$



$$\overrightarrow{U_{ind}} \quad v = w \cdot s \cdot \vec{e}_\phi$$

$$\begin{aligned} \vec{F}_a &= q \cdot \vec{v} \times \vec{B} \\ &= q \cdot (w s \vec{e}_\phi) \times (B_0 \cdot \vec{e}_z) \end{aligned}$$

GET 3 Gl 15

$$= q \cdot w \cdot B_0 \cdot S \cdot \vec{E}_B$$

Gesucht: U_m

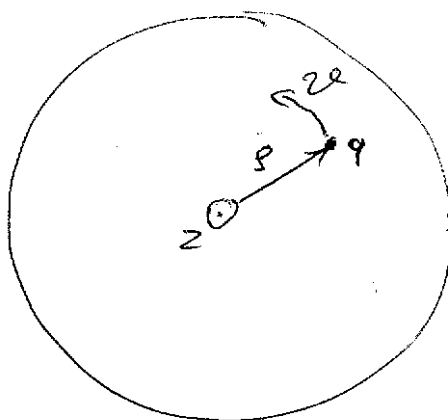
Problem: keine bewegte oder deformierte oder von einem magnetischen Fluss durchsetzte Schleife, also $\vec{B}(t)$

d.h. Ansatz $U_m = -\frac{d\phi}{dt}$ so nicht möglich

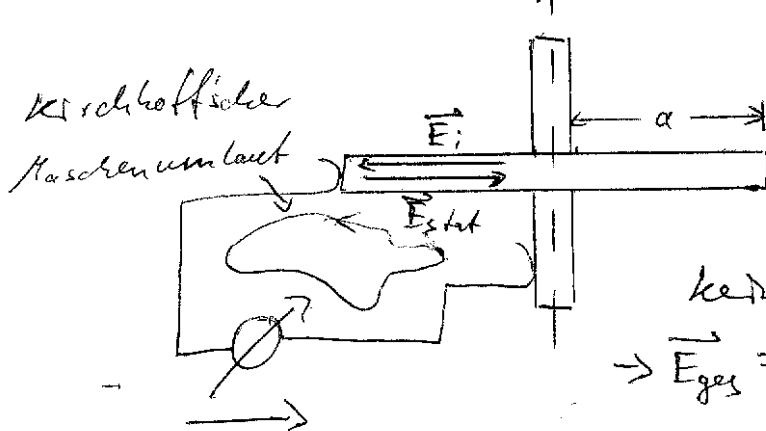
Lösung: Lortenzkraft auf mit rotierende Ladungsträger betrachten

Schreibe von oben:

$$\vec{E}_i = w \cdot S \cdot B_0 \cdot \vec{E}_B$$



Schreibe von der Seite:



$$\text{kein Strom: } \vec{j} = 0; \vec{E} = 0$$

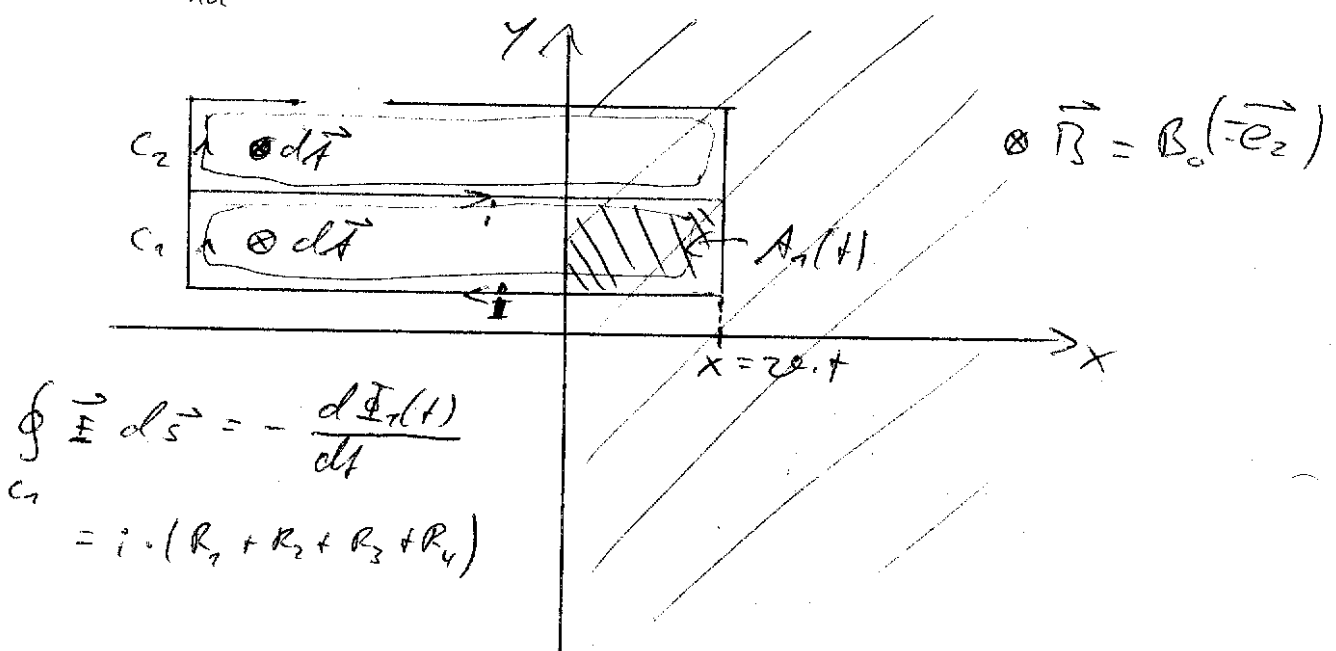
$$\rightarrow \vec{E}_{\text{ges}} = \vec{E} = \vec{E}_i + \vec{E}_{\text{stet}} = 0$$

U_m In der Schleife gilt: $\vec{E}_{\text{stet}} = -\vec{E}_i$

$$\begin{aligned} \oint \vec{E}_{\text{stat}} \cdot d\vec{s} &= 0 \\ + U_m + \int_{s=0}^a \vec{E}_{\text{stat}} \cdot d\vec{s} &= 0 \\ \rightarrow U_m = \int_{s=0}^a \vec{E}_i \cdot d\vec{s} &= \int_{s=0}^a E_{i,g}(s) \cdot ds \\ &= \omega \cdot B_0 \cdot \int_{s=0}^a s \cdot ds = \omega \cdot B_0 \cdot a^2 \cdot \frac{1}{2} \end{aligned}$$

Aufg. 31)

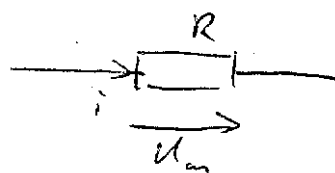
- V Das Bild der Aufgabe zeigt einen Zeitpunkt
 $t_{\text{Bild}} < 0$



$$\begin{aligned} \oint \vec{E} \cdot d\vec{s} &= - \frac{d\Phi_s(t)}{dt} \\ C_1 &= i \cdot (R_1 + R_2 + R_3 + R_4) \end{aligned}$$

$$\Psi = N \cdot \phi$$

Richtung von i aus VZ s



GET 3 GU 15

rechte Seite des Induktionsgesetzes

$$\vec{B} = \text{const} \quad \text{und} \quad \vec{B} \parallel d\vec{A}$$

$$\phi_1 = \iint_{A_1} \vec{B} \cdot d\vec{A} = B_0 \cdot A_1 (+)$$

vom mag. Fluss durchsetzte
Testfläche

$$\phi_1 (+) = \begin{cases} 0 & \text{für } t < 0 \\ B_0 \cdot b \cdot v \cdot t & \text{für } 0 \leq t \leq \frac{a}{v} \\ B_0 \cdot b \cdot a & \text{für } t > \frac{a}{v} \end{cases}$$

$$i \cdot R_{\text{ges}} = - \frac{d\phi_1}{dt} = \begin{cases} -B_0 b v e \cdot \text{für } 0 < t < \frac{a}{v} \\ 0 & \text{sonst} \end{cases}$$

$$i(t) = - \frac{B_0 b v e}{R_{\text{ges}}} = \frac{1 \frac{V}{m^2} \cdot 0,1 m \cdot 1 \frac{m}{s}}{20 \Omega}$$

$$i(t) = \begin{cases} -5 \text{ mA} & \text{für } 0 \leq t \leq 0,35 \\ 0 & \text{sonst} \end{cases}$$

b.) obere Testschleife:

$$\left. \begin{aligned} \vec{E} \cdot d\vec{s} &= u(t) - i(t) \cdot R_1 = - \frac{d\phi_2(t)}{dt} \\ c_2 \end{aligned} \right.$$

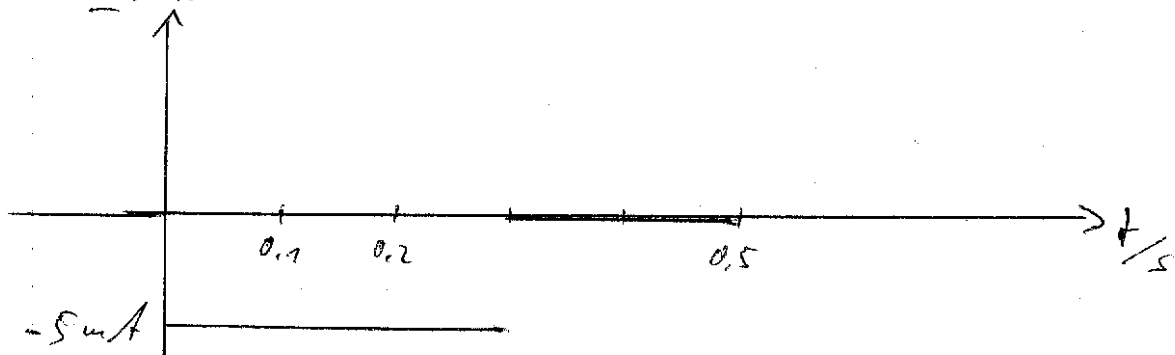
Aus Symmetriegründen gilt: $\phi_2(t) = \phi_1(t)$

$$\rightarrow u(t) = - \frac{d\phi_2(t)}{dt} + i(t) \cdot R_1$$

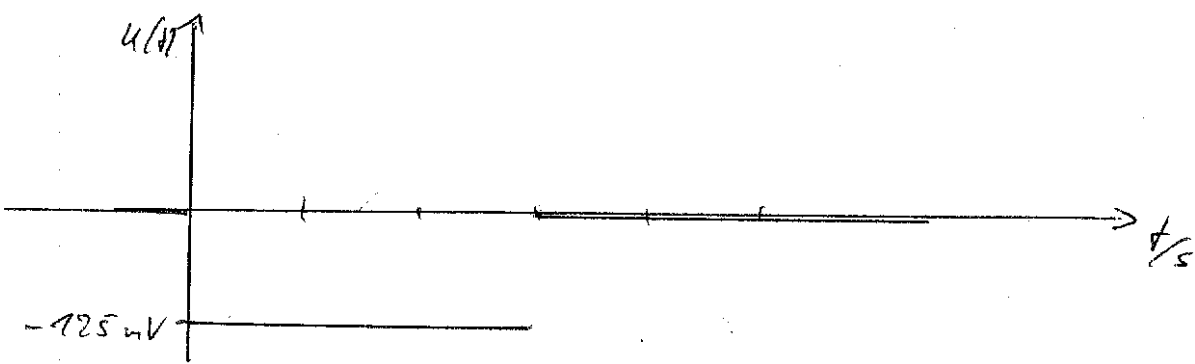
$$u(t) = \begin{cases} -B_0 \cdot b \cdot 2e - \frac{R_1}{R_{\text{ges}}} \cdot B_0 \cdot b \cdot 2e & \text{für } 0 \leq t \leq \frac{a}{v} \\ 0 \text{ const} & \end{cases}$$

$$u(t) = \begin{cases} -125 \text{ mV} & \text{für } 0 \leq t \leq 0,35 \\ 0 \text{ const} & \end{cases}$$

c) $i(t)$



$u(t)$



d.)

$$\text{Jetzt } \phi_s(t) = \int \int \vec{B}(t) \cdot d\vec{A}$$

$$dA$$

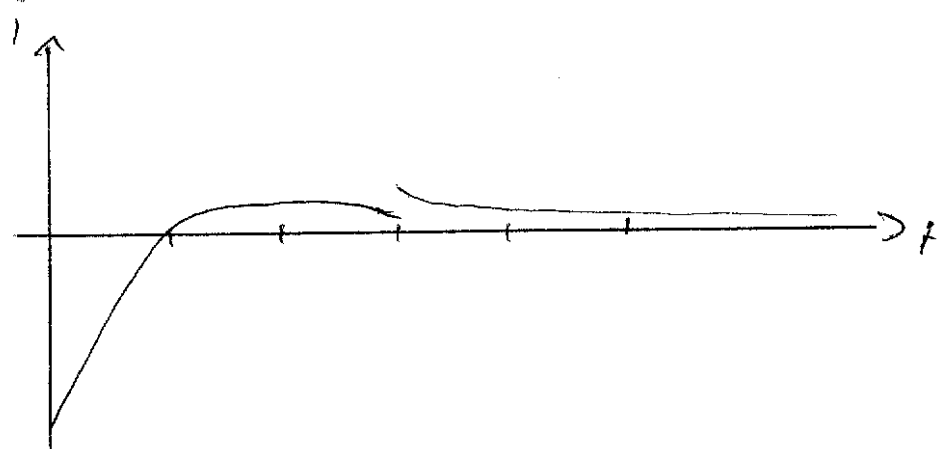
$$\phi_s(t) = \begin{cases} 0 & \text{für } t < 0 \\ B_0 \cdot e^{-\frac{t}{T}} \cdot b \cdot 2e \cdot t & \text{für } 0 \leq t \leq \frac{a}{v} \\ B_0 \cdot e^{-\frac{t}{T}} \cdot b \cdot a & \text{für } t > \frac{a}{v} \end{cases}$$

$$i(t) = -\frac{1}{R_{\text{ges}}} \cdot \frac{d\phi_s(t)}{dt}$$

GEF3 GG 15

$$i(t) = \frac{1}{R_{\text{ges}}} \cdot \begin{cases} 0 & \text{für } t < 0 \\ B_0 \cdot b \cdot e^{\left(1 - \frac{t}{T}\right)} e^{-\frac{t}{\tau}} & \text{für } 0 \leq t \leq \frac{\tau}{2} \\ B_0 \cdot b \cdot e^{\left(-\frac{1}{2}\right)} \cdot e^{-\frac{t}{\tau}} & \text{für } t > \frac{\tau}{2} \end{cases}$$

$$i(t) = \begin{cases} 0 & \text{für } t < 0 \\ -5 \text{ mA} \left(1 - \frac{t}{0,15}\right) \cdot e^{-\frac{t}{0,15}} & \text{für } 0 \leq t \leq 0,3 \text{ s} \\ 15 \text{ mA} \cdot e^{-\frac{t}{0,15}} & \text{für } t > 0,3 \text{ s} \end{cases}$$





Korrektur: Aufg. 29

e.) $L_2 = \int_{z=0}^{z=h} dL_2(\phi = \alpha) + \int_{z=0}^{z=h} dL_2(\phi = \alpha + \pi)$

$\cos(\alpha + \pi) = -\cos(\alpha)$

 $= -2 \cdot \int_{z=0}^h dL_2(\phi = \alpha)$
 $= -2 \cdot \int_{z=0}^h \left[\frac{b}{2} \cdot I \cdot B_0 \cdot \cos(\alpha) \right] \cdot \left(1 - \frac{z^2}{h^2} \right)^{\frac{1}{2}} \cdot dz$
 $= -b I B_0 \cos(\alpha) \underbrace{\left[z - \frac{z^3}{3h^2} \right]_{z=0}^{z=h}}_{\frac{2}{3}h}$